

Modelowanie turbin parowych

cz.II

Moduły modelu turbiny - zmienne warunki pracy

- Rozrząd pary
- Stopień regulacyjny
- Grupa stopni nieregulowanych

Rozrząd pary

W pierwszym etapie obliczeń rozrządu pary wyznacza się znamionowe krytyczne strumienie masy pary w poszczególnych grupach dysz

$$\dot{m}_{krjo} = \dot{m}_{zjo} \frac{1}{E_{jo}} \quad (7.1)$$

przy czym:

$$E_{jo} = \sqrt{1 - \left(\frac{\varepsilon_{jo} - \beta_d}{1 - \beta_d} \right)^2} \quad \text{dla} \quad \varepsilon_{jo} > \beta_d \quad (7.2)$$

$$E_{jo} = 1 \quad \text{dla} \quad \varepsilon_{jo} \leq \beta_d$$

gdzie:

β_d - krytyczny stosunek ciśnień dla dysz,

$$\varepsilon_{jo} = \frac{p_{ro}}{p_{zjo}} .$$

Rozrząd pary c.d.

Następnie przechodzi się do rozpatrywania warunków zmienionych. Wyznacza się największe możliwe strumienie masy pary \dot{m}_{zhj} w poszczególnych całkowicie otwartych zaworach. Przyjmuje się, że ciśnienie za całkowicie otwartym zaworem jest równe

$$p_{zh} = p_o a \quad (7.3)$$

gdzie a jest stałym współczynnikiem strat ciśnienia (np. $a = 0,95$) przy przepływie przez zawór szybkozamykający i regulacyjny. Ten maksymalny strumień masy jest równy

$$\dot{m}_{zhj} = \dot{m}_{krjo} \frac{p_{zh}}{p_{zho}} = \sqrt{\frac{p_{zho}}{p_{zh}} \frac{v_{zo}}{v_z}} E_h \quad (7.4)$$

gdzie E_h określone jest zależnościami (7.2), w których zamiast E_{jo} należy wartość E_h , a ε_{jo} zastępuje się wartością

$$\varepsilon_h = \frac{p_r}{p_{zh}}$$

Objętość właściwa v_z może być wyznaczona z zależności opisujących własności pary wodnej

Rozrzad parv c.d.

$$v_z = f(p_{zh}, i_z) \quad (7.5)$$

gdzie, wobec izentalpowego dławienia w zaworach

$$i_z = i_o = f(p_o, T_o)$$

Znając \dot{m}_{zhj} dla poszczególnych zaworów można określić ilość otwartych zaworów k , to jest określić takie k dla którego

$$\sum_{j=1}^{k-1} \dot{m}_{zhj} < \dot{m}_o \leq \sum_{j=1}^k \dot{m}_{zhj} \quad (7.6)$$

Dla $k-1$ zaworów otwartych całkowicie strumień masy będzie wynosił

$$\dot{m}_{zj} = \dot{m}_{zhj} \quad (7.7)$$

a ciśnienie

$$p_{zj} = p_{zh} \quad (7.8)$$

Rozrząd pary c.d.

Dla zaworu k otwartego częściowo strumień masy pary jest równy

$$\dot{m}_{zk} = \dot{m}_o - \sum_{j=1}^{k-1} \dot{m}_{zj} \quad (7.9)$$

a ciśnienie za zaworem można wyznaczyć z przekształconego równania przepływności

$$p_{zk} = \frac{\beta_d p_r + \sqrt{p_r (1 - \beta_d)^2 + (1 - \beta_d) g^2 A}}{1 - 2 \beta_d}$$

$$\text{dla } g = \frac{\dot{m}_{zk}}{\dot{m}_{zhk}} \geq \frac{\varepsilon_h}{\beta_d B},$$

(7.10)

$$p_{zk} = g p_r B \quad \text{dla } g < \frac{\varepsilon_h}{\beta_d B}$$

Rozrząd pary c.d.

gdzie dla $\varepsilon_h > \beta_d$

$$A = p_r^2 \left[(1 - \beta_d)^2 - (\varepsilon_h - \beta_d)^2 \right],$$
$$B = \frac{\sqrt{(1 - \beta_d)^2 - (\varepsilon_h - \beta_d)^2}}{1 - \beta_d} \quad (7.11)$$

oraz dla $\varepsilon_h \leq \beta_d$

$$A = p_r^2 (1 - \beta_d), \quad B = 1$$

W dalszych rozważaniach model rozrządu pary zapisywany będzie symbolicznie w postaci

$$\dot{m}_{zj}, p_{zj}, i_z = \text{ROZ}(\dot{m}_o, p_o, T_o, p_r) \quad (7.12)$$

gdzie $j = 1-J$, J - ilość zaworów regulacyjnych.

Stopień regulacyjny

Wielkościami zadanymi do obliczeń modelu stopnia regulacyjnego są strumienie masy pary \dot{m}_{zj} przepływającej przez poszczególne grupy dysz, ciśnienia p_{zj} i entalpia i_z za zaworami oraz ciśnienie p_r za stopniem. Wyznaczana jest moc wewnętrzna stopnia P_r oraz pozostałe parametry termodynamiczne pary za stopniem. Obliczenia rozpoczynane są od wyznaczenia izentropowych spadków entalpii związanych z przepływem pary przez poszczególne grupy dysz:

$$H_j = f(p_{zj}, i_z, p_r) \quad (7.13)$$

Następnie obliczane są odpowiadające tym spadkom wskaźniki prędkości

$$x_j = x_{ho} \sqrt{\frac{H_{ho}}{H_j}} \quad (7.14)$$

gdzie H_{ho} jest izentropowym spadkiem entalpii dla strumienia pary przepływającego przez całkowicie otwarty zawór w stanie znamionowym, a x_{ho} odpowiadającym mu wskaźnikiem prędkości

Stopień regulacyjny c.d.

$$\eta_{uj} = f(x_j, \varepsilon_j), \quad \varepsilon_j = \frac{p_r}{p_{zj}} \quad (7.15)$$

Po określeniu sprawności można wyznaczyć moc obwodową stopnia

$$P_{ru} = \sum_{j=1}^k \dot{m}_{zj} H_j \eta_{uj} \quad (7.16)$$

Aby obliczyć moc wewnętrzną stopnia regulacyjnego, konieczne jest wyznaczenie strat wybijania, tarcia i wentylacji. Straty te wyznaczane są przy użyciu wzorów doświadczalnych. Rozpatrywana turbina 13K215 produkowana była na licencji radzieckiej wytwórni LMZ. Celowe jest zatem wykorzystanie w tym celu formuł stosowanych przez tę wytwórnię. Straty wybijania wyznaczane są z zależności

$$\Delta P_k = \frac{0,11 B \pm x_n P_{ru} z}{E F} \quad (7.17)$$

gdzie:

- B - szerokość wieńca łopatkowego,
- l - wysokość łopatek wirujących,
- w_p - wskaźnik prędkości dla strumienia przepływającego przez zawór całkowicie otwarty,
- z - liczba par końców segmentów dyszowych,
- F - minimalny przekrój czynnych dysz,
- E - współczynnik przyjmujący wartości

Stopień regulacyjny c.d.

$$E = 1 \quad \text{dla} \quad \frac{p_r}{p_{zh}} \leq 0,546$$

$$E = 1,3033 - 0,5555 \frac{p_r}{p_{zh}} \quad \text{dla} \quad \frac{p_r}{p_{zh}} > 0,546$$

Straty tarcia i wentylacja zależą od objętości właściwej pary za stopniem. Wielkości tej nie można z kolei wyznaczyć dokładnie przed obliczeniem tych strat. Wykorzystuje się tu więc obliczenia iteracyjne. Wstępnie szacuje się wartość entalpii za stopniem z zależności

$$i_r = i_z - \frac{P_{ru} - \Delta P_k}{\sum_{j=1}^k \dot{m}_{zj}} \quad (7.18)$$

co pozwala obliczyć objętość właściwą

$$v_r' = f(p_r, i_r) \quad (7.19)$$

Stopień regulacyjny c.d.

Teraz można policzyć straty tarcia i wentylacji

$$\Delta P_{tw} = \left[\phi (D - 1)^2 + 0,344 \cdot 10^{-3} (1 - e) \right] D l^{1,5} \frac{u^3}{10^6 v_r} \quad (7.20)$$

gdzie:

D - średnica średnica stopnia regulacyjnego,

ϕ - 0,755 - współczynnik związany z geometrią stopnia,

e - łuk zasilania,

l - wysokość łopatkki wirującej,

$u = \frac{\pi D n}{60}$ - prędkość obwodowa stopnia

Moc wewnętrzna stopnia regulacyjnego jest równa

$$P_r = P_{ru} - \Delta P_k - \Delta P_{tw} \quad (7.21)$$

Stopień regulacyjny c.d.

entalpia za stopniem

$$i_r = i_z - \frac{P_r}{\sum \dot{m}_{zi}} \quad (7.22)$$

(sumowanie odbywa się od 1 do k), a objętość właściwa

$$v_r = f(p_r, i_r) \quad (7.23)$$

Można teraz sprawdzić prawidłowość założenia v_r . Jeśli

$$\frac{v_r' - v_r}{v_r} > \text{eps}_v$$

$$T_r = f(p_r, i_r) \quad (7.24)$$

W modelu całej turbiny obliczenia stopnia regulacyjnego będą zapisywane symbolicznie

$$P_r, i_r, T_r, v_r = \text{REG}(\dot{m}_{zj}, p_{zj}, i_z, p_r) \quad (7.25)$$

Grupa stopni nieregulowanych

Do wyznaczenia ciśnienia pary przed grupą stopni można wykorzystać równanie przelotności. W przypadku grup liczących kilka stopni wystarczająco dokładne jest równanie postaci (5.6), po przekształceniu którego otrzymuje się

$$p_{\alpha} = \sqrt{\left(\frac{\dot{m}}{\dot{m}_0}\right)^2 \tau (p_{\alpha}^2 - p_{\alpha 0}^2) + p_{\omega}^2} \quad (7.26)$$

gdzie

$$\tau = \frac{p_{\alpha}}{p_{\alpha 0}} \frac{v_{\alpha}}{v_{\alpha 0}} \approx \frac{T_{\alpha}}{T_{\alpha 0}} \quad (7.27)$$

W obliczeniach całej turbiny blok związany z równaniem przelotności wykorzystywany jest w takiej fazie, że nie jest jeszcze znana temperatura T_{α} i jej wartość powinna być założona. Wygodniej niż temperaturę jest jednak założyć wartość stosunku τ , stąd jest on traktowany jako wielkość zadana do obliczeń w podbloku przelotności. Podobnie jak w poprzednich przypadkach, obliczenia ciśnienia przed grupą zapisywane będą dalej symbolicznie:

$$p_{\alpha} = \text{PRZEL}(\dot{m}, p_{\omega}, \tau) \quad (7.28)$$

Grupa stopni nieregulowanych c.d.

Obliczenia mocy turbiny są rozpoczynane od wyznaczania izentropowego spadku entalpii w grupie:

$$H = f(p_{\alpha}, T_{\alpha}, p_{\omega}) \quad (7.29)$$

$$P = \dot{m} H \eta_{i0} \quad (7.30)$$

a parametry termodynamiczne pary za stopniem można wyznaczyć z zależności

$$i_{\alpha} = f(p_{\alpha}, T_{\alpha}) \quad (7.31)$$

$$i_{\omega} = i_{\alpha} - \frac{\dot{m}}{P} \quad (7.32)$$

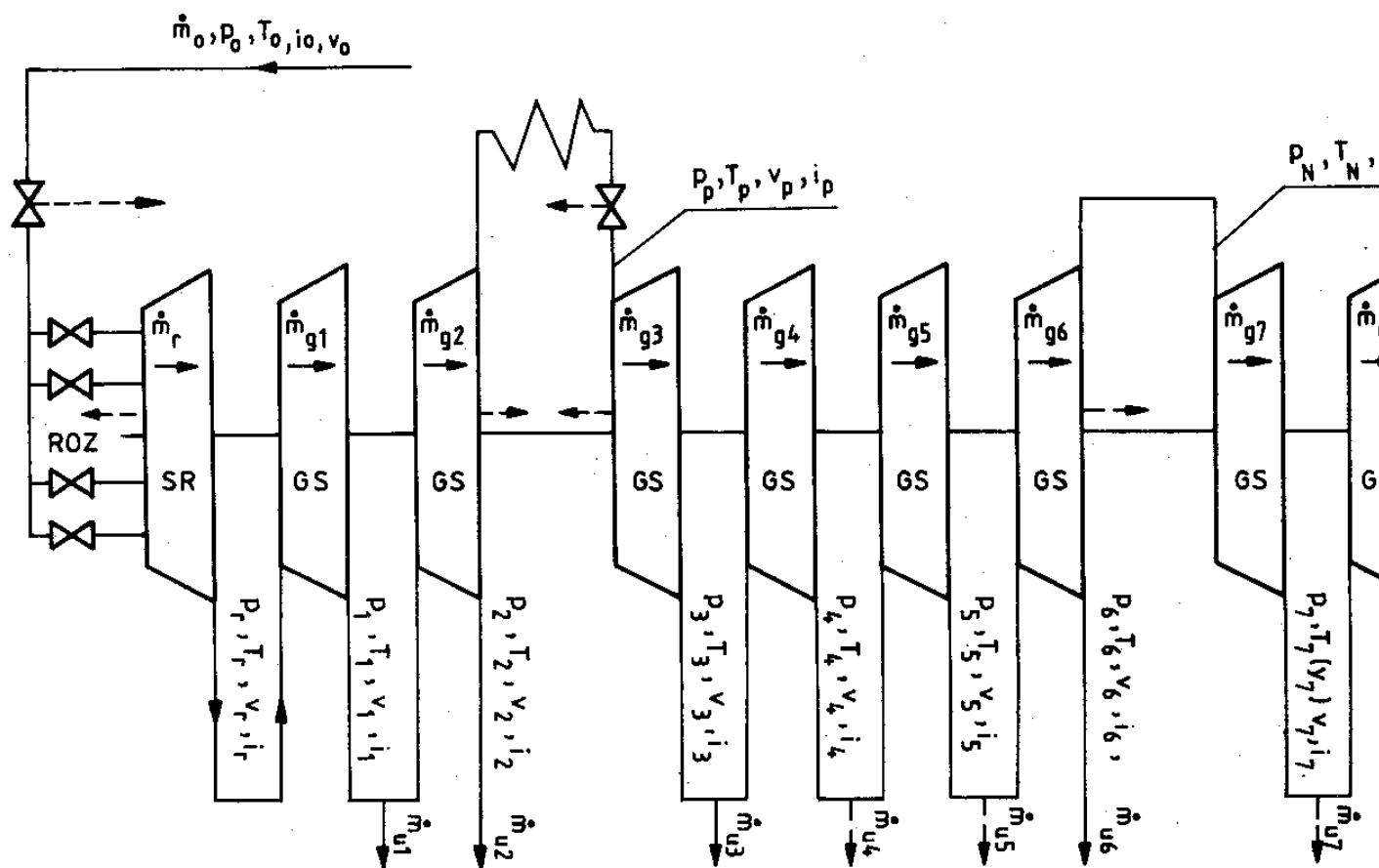
$$T_{\omega} = f(p_{\omega}, i_{\omega}) \quad (7.33)$$

$$v_{\omega} = f(p_{\omega}, T_{\omega}) \quad (7.34)$$

Blok zawierający powyższe zależności będzie dalej oznaczany

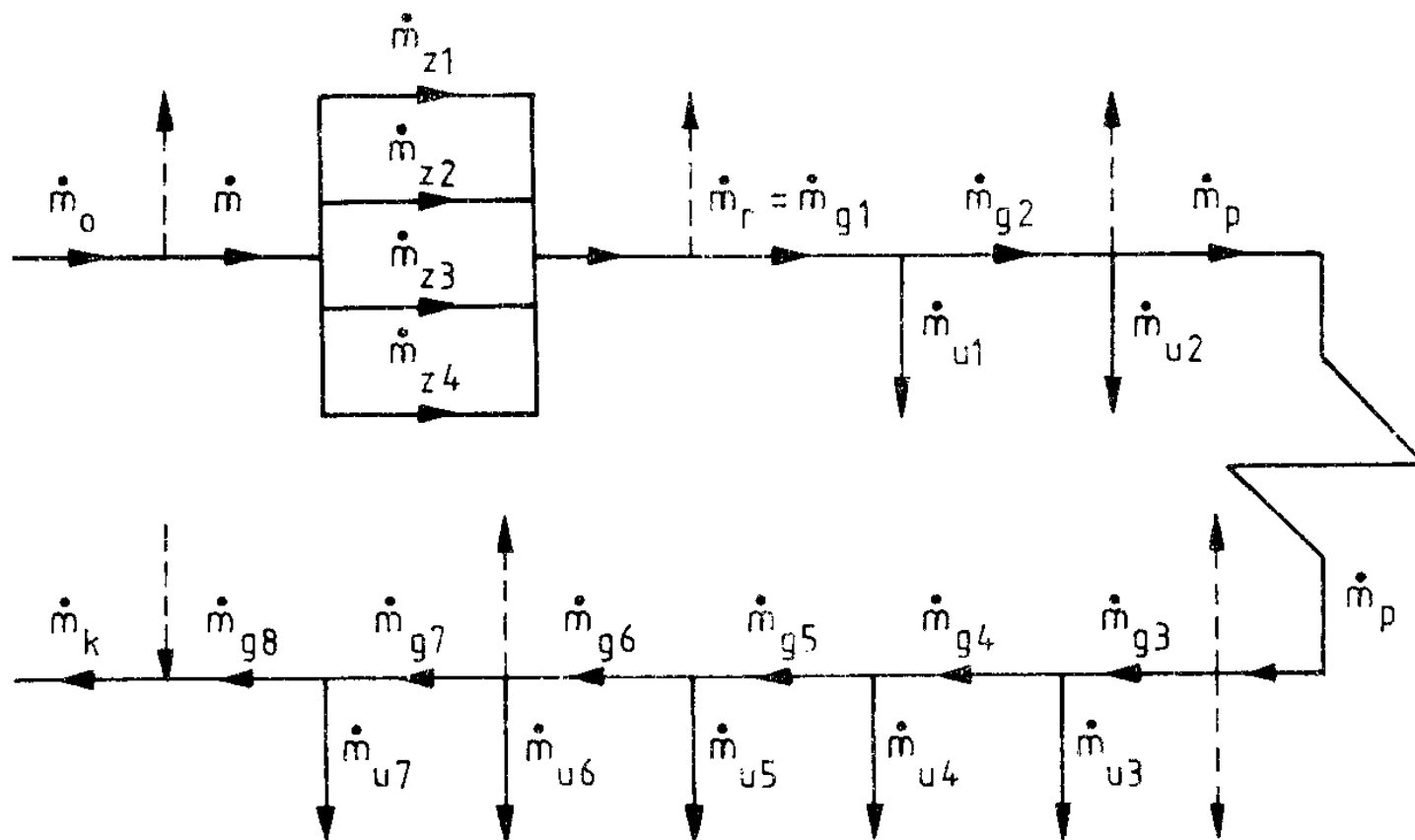
$$P, T_{\omega}, i_{\omega}, v_{\omega} = OSI(\dot{m}, p_{\alpha}, T_{\alpha}, p_{\omega}, \eta_{i0}) \quad (7.35)$$

Schemat zastępczy



Rys.7.4. Schemat zastępczy układu przepływowego turbiny 13K215; ROZ - rozrząd pociągowy, GS - grupa stopni

Algorytm obliczeń turbiny



Rys.7.6. Schemat rozpływu pary w turbinie 13K215

Algorytm obliczeń turbiny c.d.

$$1. \quad \dot{m} = \dot{m}_o$$

$$2. \quad \dot{m}_r = \dot{m}$$

$$3. \quad \dot{m}_{g1} = \dot{m}_r$$

$$4. \quad \dot{m}_{g2} = \dot{m}_r - \dot{m}_{u1}$$

$$5. \quad \dot{m}_p = \dot{m}_{g2} - \dot{m}_{u2}$$

$$6. \quad \dot{m}_{g3} = \dot{m}_p$$

$$7. \quad \dot{m}_{g4} = \dot{m}_{g3} - \dot{m}_{u3}$$

$$8. \quad \dot{m}_{g5} = \dot{m}_{g4} - \dot{m}_{u4}$$

$$9. \quad \dot{m}_{g6} = \dot{m}_{g5} - \dot{m}_{u5}$$

$$10. \quad \dot{m}_{g7} = \dot{m}_{g6} - \dot{m}_{u6}$$

$$11. \quad \dot{m}_{g8} = \dot{m}_{g7} - \dot{m}_{u7}$$

$$12. \quad \dot{m}_k = \dot{m}_{g8}$$

Algorytm obliczeń turbiny c.d.

$$13. \quad \tau'_r = \tau'_1 = 1$$

$$14. \quad \tau'_p = \frac{T_p}{T_{p0}}$$

$$15. \quad \tau'_3 = \tau'_4 = \tau'_5 = \tau'_N = \tau'_7 = \tau'_p$$

$$16. \quad p_7 = f(\dot{m}_{g8}, p_k, \tau'_7)$$

$$17. \quad p_N = \text{PRZEL}(\dot{m}_{g8}, p_7, \tau'_N)$$

$$18. \quad p_6 = a \, p_N$$

Algorytm obliczeń turbiny c.d.

$$19. \quad p_5 = \text{PRZEL}(\dot{m}_{g6}, p_6, \tau'_5)$$

$$20. \quad p_4 = \text{PRZEL}(\dot{m}_{g5}, p_5, \tau'_4)$$

$$21. \quad p_3 = \text{PRZEL}(\dot{m}_{g4}, p_4, \tau'_3)$$

$$22. \quad p_p = \text{PRZEL}(\dot{m}_{g3}, p_3, \tau'_p)$$

$$23. \quad p_2 = p_p + p_o \left(\frac{\dot{m}_c}{\dot{m}_{p_o}} \right)^2$$

(założono tu, że opory przepływu w przegrzewaczu międzystopniowym są proporcjonalne do kwadratu strumienia masy przepływającej pary)

$$24. \quad p_1 = \text{PRZEL}(\dot{m}_{g2}, p_2, \tau'_1)$$

$$25. \quad p_r = \text{PRZEL}(\dot{m}_{g1}, p_1, \tau'_r)$$

Algorytm obliczeń turbiny c.d.

Znajomość ciśnienia za stopniem regulacyjnym pozwala przystąpić do obliczeń rozrządu pary i stopnia regulacyjnego.

$$26. \quad \dot{m}_{zj}, p_{zj}, i_z = \text{ROZ}(\dot{m}, p_o, T_o, p_r)$$

$$27. \quad p_r, i_r, T_r, v_r = \text{REG}(\dot{m}_{zj}, p_{zj}, i_z, p_r)$$

Następnie wyznaczana jest moc wewnętrzna grup stopni oraz wartość pozostałych parametrów pary w układzie przepływowym turbiny.

$$28. \quad p_1, T_1, i_1, v_1 = \text{OSI}(\dot{m}_{g1}, p_r, T_r, p_1, \eta_{io1})$$

$$29. \quad p_2, T_2, i_2, v_2 = \text{OSI}(\dot{m}_{g2}, p_1, T_1, p_2, \eta_{io2})$$

$$30. \quad i_p = f(p_p, T_p)$$

$$31. \quad v_p = f(p_p, T_p)$$

Algorytm obliczeń turbiny c.d.

$$32. \quad P_3, T_3, i_3, v_3 = \text{OSI}(\dot{m}_{g3}, p_p, T_p, p_3, \eta_{i03})$$

$$33. \quad P_4, T_4, i_4, v_4 = \text{OSI}(\dot{m}_{g4}, p_3, T_3, p_4, \eta_{i04})$$

$$34. \quad P_5, T_5, i_5, v_5 = \text{OSI}(\dot{m}_{g5}, p_4, T_4, p_5, \eta_{i05})$$

$$35. \quad P_6, T_6, i_6, v_6 = \text{OSI}(\dot{m}_{g6}, p_5, T_5, p_6, \eta_{i06})$$

$$36. \quad T_N = f(p_N, i_6)$$

$$37. \quad v_N = f(p_N, i_6)$$

W dwóch ostatnich grupach stopni może pojawić się przepływ pary wilgotnej. Obliczenia tych grup nie mogą być zatem przeprowadzone przy wykorzystaniu bloku OSI, gdyż nie uwzględniono w nim strat wilgotności. Obliczenia przedostatniej grupy stopni przeprowadzone są następująco:

$$38. \quad y_7' = 1$$

Algorytm obliczeń turbiny c.d.

$$39. \quad H_7 = f(p_N, i_6, p_7)$$

$$40. \quad P_7 = \dot{m}_{g7} H_7 \eta_{io7} y_7'$$

W powyższej zależności η_{io7} jest tzw. sprawnością wewnętrzną "suchą", to jest nie uwzględniającą strat wilgotności. Wpływ strat wilgotności ujmuje y_7' (taki sposób uwzględnienia tych strat należy do najprostszych)

$$41. \quad i_7 = i_6 - \frac{P_7}{\dot{m}_{g7}}$$

$$42. \quad y_7 = f(p_7, i_7)$$

(powyższa zależność musi być tak sformułowana, aby dla pary nasyconej i przegrzanej otrzymywać $y_7 = 1$). Jeżeli

$\frac{y_7' - y_7}{y_7} > \text{eps}_y$ to podstawia się $y_7' = y_7$ i wraca do 40

(eps_y jest dopuszczalnym błędem obliczeń wartości y_7)

Algorytm obliczeń turbiny c.d.

$$43. \quad v_7 = f(p_7, i_7)$$

$$44. \quad T_7 = f(p_7) \quad \text{dla} \quad y_7 < 1 \quad \text{lub} \quad T_7 = f(p_7, i_7)$$

W tym punkcie obliczeń można już wyznaczyć wartości wcześniej założonych stosunków τ .

$$45. \quad \tau_r = \frac{p_r v_r}{(p v)_o}$$

$$46. \quad \tau_1 = \frac{p_1 v_1}{(p_1 v_1)_o}$$

$$47. \quad \tau_p = \frac{p_p v_p}{(p_p v_p)_o}$$

$$48. \quad \tau_3 = \frac{p_3 v_3}{(p_3 v_3)_o}$$

$$49. \quad \tau_4 = \frac{p_4 v_4}{(p_4 v_4)_o}$$

Algorytm obliczeń turbiny c.d.

$$50. \quad \tau_5 = \frac{p_5 v_5}{(p_5 v_5)_0}$$

$$51. \quad \tau_N = \frac{p_N v_N}{(p_N v_N)_0}$$

$$52. \quad \tau_7 = \frac{p_7 v_7}{(p_7 v_7)_0}$$

Porównywane są teraz założone i wyznaczone wartości stosunków. Jeżeli dla chociaż jednego z nich zachodzi relacja

$$\left| \frac{\tau' - \tau}{\tau} \right| > \text{eps}_\tau$$

(eps_τ jest dopuszczalnym błędem obliczeń), to podstawia się nowe wartości wszystkich stosunków

$$\tau' = \tau$$

i powraca do punktu 17.

Algorytm obliczeń turbiny c.d.

W przypadku ostatniej grupy stopni znacznym zmianom może ulegać stosunek ciśnień pary. Nie można zatem przyjmować, że ma ona stałą sprawność, i trzeba dysponować charakterystyką sprawności grupy. Obliczenia przebiegają tu następująco:

$$53. \quad y'_k = y_{ko}$$

$$54. \quad H_8 = f(p_7, i_7, p_k)$$

$$55. \quad \varepsilon_8 = \frac{p_k}{p_8}$$

$$56. \quad \eta_{i8}^s = f(\varepsilon_8)$$

(przykładowa postać charakterystyki ostatniej grupy stopni)

$$57. \quad p_8 = \dot{m}_{g8} H_8 \eta_{i8}^s y'_k$$

$$58. \quad i_k = i_7 - \frac{p_7}{\dot{m}_{g7}}$$

Algorytm obliczeń turbiny c.d.

$$59. \quad y_k = f(p_k, i_k)$$

Jeżeli $\left| \frac{y'_k - y_k}{y_k} \right| > \text{eps}_y$, to $y'_k = y_k$ i powrót do 57.

$$60. \quad v_k = f(p_k, i_k)$$

$$61. \quad T_k = f(p_k)$$

W końcowej fazie obliczeń wyznaczone są kolejno moc na wale, straty w generatorze i moc elektryczna turbozespołu

$$62. \quad P = P_r + \sum_{j=1}^8 - \Delta P_{m0}$$

(ΔP_{m0} - straty mechaniczne nie zależące od obciążenia turbiny)

Algorytm obliczeń turbiny c.d.

$$63. \quad P'_{el} = P$$

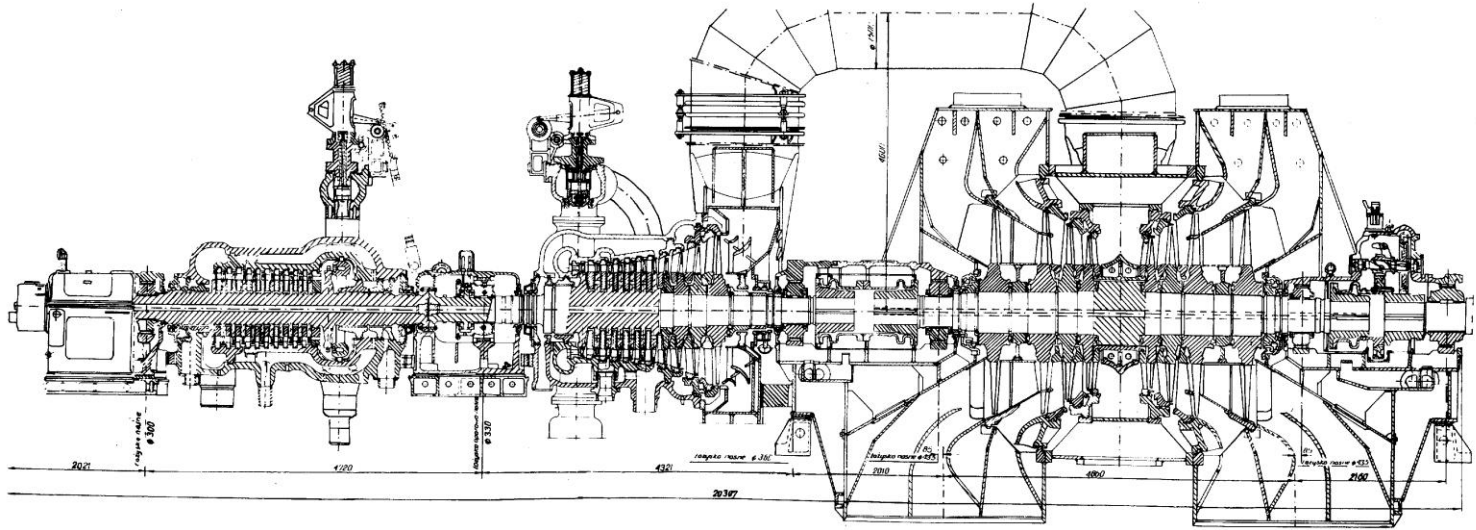
$$64. \quad \Delta P_{el} = 1247 + 1163 \left(\frac{P'_{el}}{P_{elo}} \right)^2$$

(straty elektryczne zależą od mocy elektrycznej - współczynnik dobrany indywidualnie dla generatora turbiny 13K125)

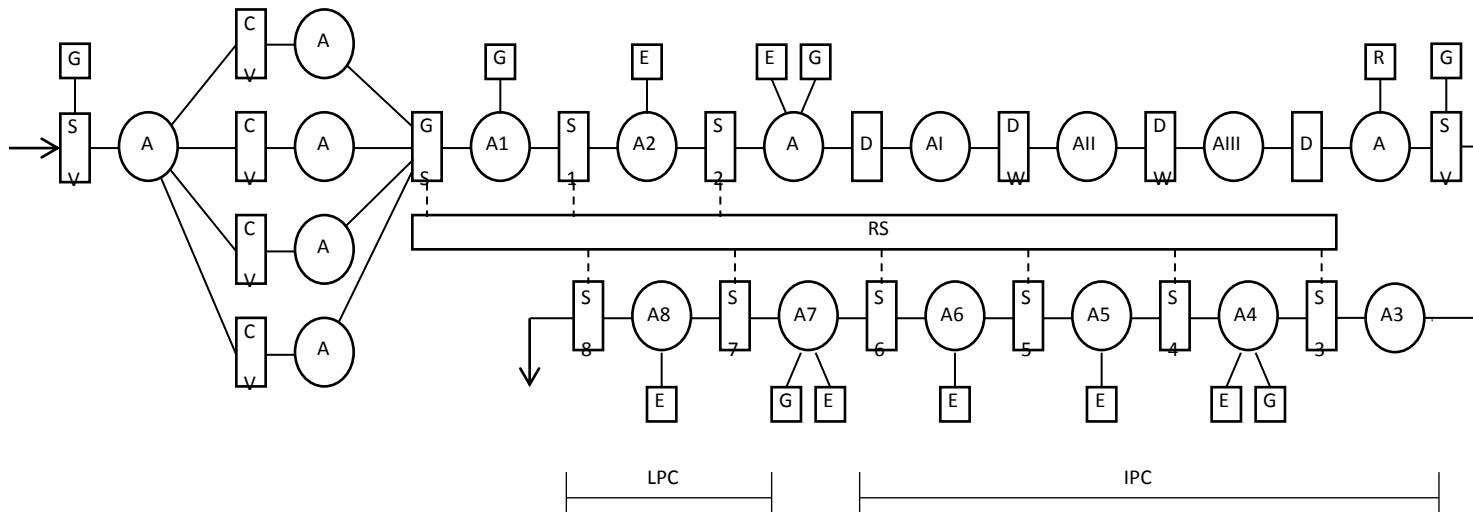
$$65. \quad P_{el} = P - \Delta P_{el}$$

Jeżeli $\left| \frac{P'_{el} - P_{el}}{P_{el}} \right| > \text{eps}_P$, to $P'_{el} = P_{el}$ i powrót do 64.

Stan nieustalony



HPC Rys.7.3. Rysunek układu przepływowego turbiny 13K215 ISS



Stan nieustalony

$$\frac{dm}{dt} = \sum G_{\alpha i} - \sum G_{\omega i} \qquad \frac{dH}{dt} = \sum G_{\alpha i} h_{\alpha i} - \sum G_{\omega i} h + \dot{Q} + V \frac{dp}{dt}$$

$$\frac{dp}{dt} = \frac{-(G_{\alpha i} - G_{\omega i})v - \left(\frac{\partial v}{\partial h}\right)_p [\sum G_{\alpha i} (h_{\alpha i} - h) + \dot{Q}]}{V \left[\left(\frac{\partial v}{\partial h}\right)_p + \frac{1}{v} \left(\frac{\partial v}{\partial p}\right)_h \right]}$$

$$\frac{dh}{dt} = \frac{-(G_{\alpha i} - G_{\omega i})v^2 + \left(\frac{\partial v}{\partial p}\right)_h [\sum G_{\alpha i} (h_{\alpha i} - h) + \dot{Q}]}{V \left[\left(\frac{\partial v}{\partial h}\right)_p + \frac{1}{v} \left(\frac{\partial v}{\partial p}\right)_h \right]}$$

Stan nieustalony

$$\frac{dT_m}{dt} = \frac{F_{fg} k_{fg} (T_{fg} - T_m) - F_{st} k_{st} (T_m - T)}{m_m c_m}$$

$$\frac{d\omega}{dt} = \frac{N_t - N_g - \Delta N_m}{I\omega}$$

$$G = G(p_\alpha, h_\alpha, p_\omega, n, z)$$

$$\eta = \eta(p_\alpha, h_\alpha, p_\omega, n, z)$$

Stan nieustalony

$$\frac{\eta_{i(a,b)}}{\eta_{io(a,b)}} - 1 - 5\mathcal{G} + \mathcal{G} \left[\left(\frac{\pi}{\pi_o} \right)^4 + 4 \left(\frac{\pi_o}{\pi} \right) \right] = 0 \quad \pi = \frac{p_b}{p_a}$$

- Gdzie

$$\mathcal{G} = v \cdot e^{\left(\frac{9.66 p_{ob}}{p_{oa}} \right)}$$

$u = 0,000286$ dla turbiny akcyjnej,

$u = 0,000333$ dla turbiny o małej reakcyjności $0,15 \div 0,3$,

$v = 0,000869$ dla turbiny reakcyjnej o reakcyjności ok. $0,5$

- Entalpia za grupą stopni turbinowych

Stan nieustalony – linia rozprężania

